

مشخصات جریان درون نانو کانال‌های حاوی محیط متخلخل با استفاده از روش‌های شبیه-سازی دینامیک مولکولی و شبکه بولتزمن

امیر همایون مقدادی اصفهانی^۱ ایمان تصدیقی^۲، ابراهیم شیرانی^۳

^۱دانشگاه آزاد اسلامی، واحد نجف آباد، گروه مهندسی مکانیک، اصفهان، ایران amir_meghdadi@pmc.iaun.ac.ir

^۲مؤسسه آموزش عالی صنعتی فولاد، فولاد شهر، اصفهان، کد پستی ۸۴۱۵۶۸۳۱۱۱، iman.tasdighi@gmail.com

^۳مؤسسه آموزش عالی صنعتی فولاد، فولاد شهر، اصفهان، کد پستی ۸۴۱۵۶۸۳۱۱۱، eshirani@gmail.com

چکیده - در این پژوهش، از شبیه‌سازی دینامیک مولکولی و شبکه بولتزمن، برای محاسبه خواص جریان پوازی گاز آرگون در یک نانو کانال با هندسه متخلخل بهره می‌بریم. مشخصات جریان پوازی در چندین نوع کانال با تخلخل‌های متفاوت مورد بررسی قرار می‌گیرد. تأثیر پارامترهای مختلفی از قبیل عدد نادسن، نسبت تخلخل و نیروهای اعمالی، بر روی پروفیل‌های سرعت، دما بحث می‌شوند. نتایج جالبی از حل این دو روش استخراج می‌شود. نتایج بیان می‌کنند که روش دینامیک مولکولی و روش شبکه بولتزمن اصلاح شده، قادر هستند پدیده‌های مربوط به جریان-های مختلف مانند گذردهی و جریان داری را به خوبی پیش بینی کند. با افزایش نیروی اعمالی به کانال، نسبت تخلخل و عدد نادسون شاهد افزایش سرعت متوسط و نرخ جریان خواهیم بود. با افزایش سرعت متوسط افزایش دمای مقطع عرضی نانو کانال را نیز شاهد هستیم. کلید واژه - جریان پوازی، دینامیک مولکولی، شبکه بولتزمن، نانو کانال متخلخل

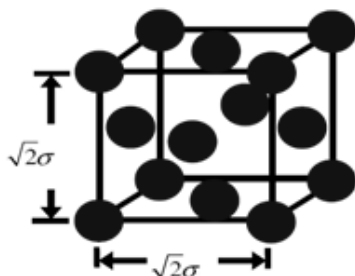
۱- مقدمه

امروزه روش‌های محاسباتی یکی از ابزارهای مفید در جهت مدل‌سازی سیستم‌هایی است که ساخت تجهیزات آزمایشگاهی برای بررسی خواص آن‌ها، مقرون به صرفه نیست. روش شبیه‌سازی دینامیک مولکولی و روش شبکه بولتزمن دو مورد از کاربردی‌ترین روش‌های عددی ارائه شده در مقیاس میکرو و نانو، می‌باشند. در این پژوهش، جریان پوازی گاز آرگون درون نانو کانال-های متخلخل با استفاده از دو روش دینامیک مولکولی و شبکه بولتزمن در نسبت‌های تخلخل مختلف که در ادامه بدان اشاره خواهد شد، بررسی خواهد شد. در شبیه‌سازی-های انجام شده در زمینه کانل‌ها، از روش شبکه بولتزمن در بررسی خواص جریان در کانال‌های متخلخل بهره برده شده است اما از روش دینامیک مولکولی در به دست آوردن خواص تاکنون استفاده نشده است.

۲- روش شبکه بولتزمن

در سالهای اخیر تلاش زیادی به منظور استفاده از روش شبکه بولتزمن برای شبیه‌سازی جریان در رژیم لغزشی انجام شده اما صرفاً تعداد بسیار اندکی از مقالات را می‌توان ذکر نمود که از این روش برای شبیه‌سازی جریان در رژیم گذرا استفاده کرده باشند و روش‌هایی که توسط همین تعداد اندک از مقالات ارائه شده عموماً توانایی شبیه‌سازی تمام رژیم‌های جریان را ندارند و به علاوه دارای پیچیدگی‌هایی هستند که استفاده از آنها برای محیط‌های متخلخل را غیر ممکن می‌سازد. در مقالات قبلی [۱ و ۲] ما با انجام اصلاحی بر روی زمان آرامش هیدرو دینامیکی و گرمایی، توانایی روش شبکه بولتزمن در مدل‌سازی جریان در مقیاس نانو - که معمولاً منطبق با رژیم گذرا می‌باشد - را افزایش دادیم که خوانندگان محترم می‌توانند جهت آشنایی با روش شبکه بولتزمن و نحوه انجام تصحیحات به

به یکی از پرتعدادترین نرم افزارهای روز دنیا مبدل شده است. در زمینه مدل سازی سیستم های مولکولی نیز این گونه نرم افزارها در حال رشد و تکامل هستند. از جمله پرتعدادترین آنها نرم افزار لمپس^۱ است [۱۷]. در شبیه سازی ها از تابع پتانسیل لnard-جونز (مطابق با پارامترهای جدول (۱))، الگوریتم سرعت ورله برای انتگرال گیری زمانی، ترموستات مقیاس بندی سرعت و ساختار شبکه FCC با ثابت شبکه ۰/۸۱ استفاده می کنیم. نمایی از شبکه FCC را در شکل (۱) مشاهده می کنید.



شکل ۱: نمایی از شبکه با ساختار FCC

از شرط مرزی تناوبی در راستای حرکت جریان (X) استفاده می نمایم. استفاده از کمیت های بی بعد در حین شبیه سازی، یکی از روش هایی است که در شبیه سازی دینامیک مولکولی بهره می بریم. در ادامه، بالانویس*، بیانگر کمیت بی بعد است. برای شروع شبیه سازی نیازمند تخصیص سرعت اولیه به ذرات هستیم که این کار با استفاده از توزیع سرعت ماکسول-بولتزمن حاصل می شود. نمونه برداری و محاسبه خواص ماکروسکوپی توسط رابطه (۱۵) انجام می شود.

جدول ۱- پارامترهای استفاده شده در پتانسیل لnard-جونز

قطر اتم (σ)	عمق انرژی (ϵ)	برهم کنش بین ذرات
----------------------	--------------------------	-------------------

مقالات مذکور مراجعه نمایند.

۳- شبیه سازی دینامیک مولکولی

پایه و اساس روش دینامیک مولکولی، معادله دوم نیوتن است. در ابتدا نیروهای وارد بر ذرات توسط تابعی به نام تابع پتانسیل محاسبه می شوند و سپس با انتگرال گیری زمانی از این روابط معادله حرکت حل شده و موقعیت و سرعت جدید ذرات واقع در دامنه حل به دست می آیند و این روند تا زمانی ادامه می یابد که سیستم به حالت تعادل برسد.

تقابل های بین مولکولی با استفاده از تابع پتانسیل بیان می شود. تابع پتانسیل ورودی اصلی هر شبیه سازی دینامیک مولکولی است. یکی از توابع پتانسیل معروف و ساده ای که تقابل میان دو مولکول را تشریح می کند، تابع پتانسیل لnard - جونز است که برای شبیه سازی مایعات ساده و جامدات استفاده قرار می گیرد. این تابع پتانسیل برای اولین بار توسط لnard و جونز در سال ۱۹۲۴ معرفی شد. با مشتق گیری از این تابع نیروی وارد بر ذرات به دست می آید. این تابع در معادله (۱) نشان داده شده است.

$$\varphi(r_{ij}) = 4\epsilon \left[\left(\frac{\sigma}{r_{ij}} \right)^{12} - \left(\frac{\sigma}{r_{ij}} \right)^6 \right], r < r_c \quad (1)$$

که در آن σ قطر ذره، ϵ عمق انرژی و r_{ij} فاصله بین دو ذره است. اغلب فاصله بین دو ذره را برابر شعاع قطع یا r_c در نظر گرفته می شود. نکته قابل ذکر آن است که در فاصله های بزرگتر از شعاع قطع مقدار نیروی بین دو ذره بسیار ناچیز و قابل صرف نظر کردن می شود. مقدار نیروی بین ذرات از مشتق گیری از این تابع پتانسیل حاصل می شود. امروزه نرم افزارهای منبع باز در شاخه های مختلف علمی،

¹ LAMMPS

شمارش تعداد اتم‌های جذب شده مورد مطالعه قرار داده و نفوذپذیری گاز دی اکسید کربن را بررسی نمودند. همچنین زانگ و همکاران [۲۴] با استفاده از روش شبیه‌سازی دینامیک مولکولی، ویسکوزیته برشی مایع آرگون درون محیط متخلخل را به ازای دما، چگالی و تخلخل‌های مختلف محاسبه نموده و روابطی را برای پیش‌بینی ویسکوزیته مایعات ساده در محیط‌های متخلخل به صورت تابعی از دما، چگالی و تخلخل ارائه نمودند.

در مجموع می‌توان گفت که به کمک روش دینامیک مولکولی، مدلسازی‌های متعددی برای جریان در مقیاس نانو انجام شده و اثرات بوجود آمده در جریان در محیط‌های غیر پیوسته بررسی شده است. با کاهش طول مشخصه (عرض کانال) اثرات ناپیوستگی بیشتر شده و متناسب با آن انحراف از ناویر استوکس افزایش می‌یابد. همچنین تحقیقات ارائه شده نشان می‌دهند که روش دینامیک مولکولی از توانایی خوبی جهت بررسی پدیده‌های مختلف جریان در محیط‌های متخلخل نظیر نفوذپذیری، پدیده جذب سطحی و دیفیوژن سطحی برخوردار است.

۴- شبیه‌سازی و نتایج

در ابتدا بایستی صحت سنجی کد مورد استفاده انجام گیرد و سپس به شبیه‌سازی خود پردازیم. ژو و همکاران [۱۸]، به مدلسازی سه‌بعدی جریان آرگون مطابق با جدول (۱)، پرداختند. بر اساس مشخصات ذکر شده به شبیه‌سازی جریان مورد نظر می‌پردازیم. ۱۶۰۰ ذره در دیواره و ۱۳۷۲ ذره در ناحیه وسط جریان و با اعمال نیروی بی‌بعد ۰/۱ مدل‌سازی شد و نتایج با تطابق مناسبی به دست آمد. پروفیل سرعت هر دو شبیه‌سازی در شکل (۲)، نشان داده شده است. همانگونه که ملاحظه می‌کنید این نتایج تقریباً مطابق بر یکدیگر هستند. بنابراین درستی کد مورد استفاده در این شبیه‌سازی‌ها حاصل می‌شود.

آرگون - آرگون	$1/67 \times 10^{-21}$	$3/4 \times 10^{-10}$
پلاتین	$0/894 \times 10^{-21}$	$3/085 \times 10^{-10}$
آرگون - پلاتین	$1/10538 \times 10^{-21}$	$3/2425 \times 10^{-10}$

$$K = \frac{1}{N_{tot}} \sum_{i=1}^{N_{tot}} (K_{i,x} + K_{i,y} + K_{i,z}) \quad (15)$$

در این رابطه K کمیت مورد نظر در شبیه‌سازی است. در این شبیه‌سازی‌ها گام زمانی بی‌بعد (t^*) برابر $0/0026$ ($t^* = \sigma \sqrt{m/\varepsilon} = 2/16 \times 10^{-12}$) در نظر گرفته شد.

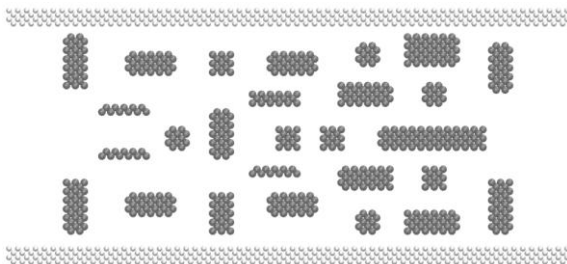
روش شبیه‌سازی دینامیک مولکولی در مطالعه محیط‌های متخلخل بیشتر در زمینه بررسی جریان در غشاءها مورد استفاده قرار گرفته است. چانگ و لی [۲۱] با ترکیب روش‌های دینامیک مولکولی و مونت کارلو جریان گازهای هلیوم، نیتروژن و دی‌اکسید کربن را درون یک غشاء متخلخل سیلیکونی مورد بررسی قرار داده و تأثیر فشار، دما و ترکیب گازها بر جریان را ذکر نمودند. پل و همکارش [۲۳] نیز به کمک روش دینامیک مولکولی جریان یوازی گازهای هلیوم، هیدروژن و آرگون را درون غشاءهای سیلیکونی متخلخل مدل نموده و به این وسیله، خاصیت غربالگری غشاءهای زئولیتی میکرومتخلخل را با غشاءهای سیلیکونی آمورف^۱ ساخته شده به کمک روش سل ژل مقایسه نمودند. در پژوهشی دیگر چانگ و همکارش [۱] پدیده جذب سطحی و دیفیوژن سطحی درون غشاء سیلیکونی را به کمک روش دینامیک مولکولی و از طریق

^۱ کریستال‌های بدون ساختار (بی‌شکل) را آمورف می‌گویند.

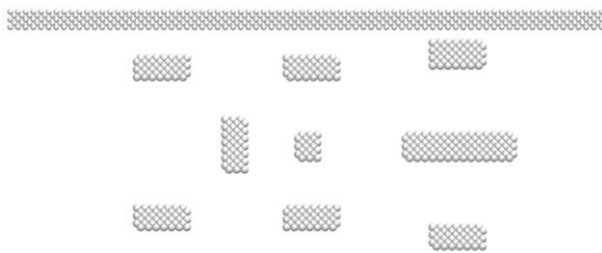
نسبت تخلخل نسبت فضای خالی نانو کانال به کل فضای آن است که توسط رابطه (۲) نیز بیان می شود:

$$\varepsilon_s = (V - V_s) / V \quad (2)$$

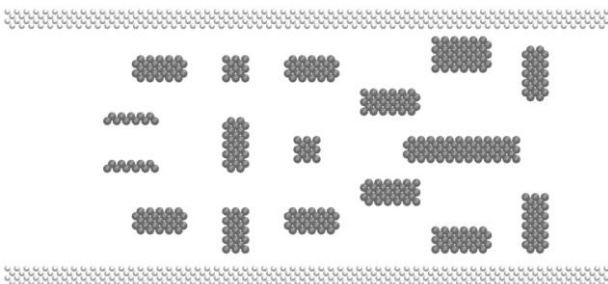
که در آن V حجم کلی دامنه حل و V_s حجم بلوک-های جامد درون نانو کانال یا دامنه حل است.



شکل ۲: نانو کانال متخلخل با نسبت تخلخل $\varepsilon_s = 0.732$

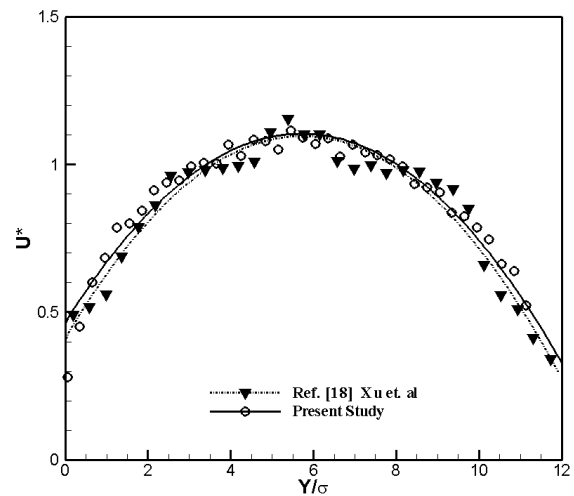


شکل ۳: نانو کانال متخلخل با نسبت تخلخل $\varepsilon_s = 0.881$



شکل ۴: نانو کانال متخلخل با نسبت تخلخل $\varepsilon_s = 0.805$

برای شبیه سازی جریان پوازی درون نانوکانال های متخلخل، ابتدا مختصات ذرات در دامنه حل مشخص می شوند، سپس مقدار دهی اولیه سرعت با استفاده از توزیع ماکسول-بولتزمان، انجام شده و با استفاده از پتانسیل لنارد-جونز و الگوریتم سرعت ورله، مقادیر نیروها در گام های زمانی مختلف محاسبه می گردند. در این



شکل ۲: پروفیل سرعت، در جهت جریان با اعمال مدل حرارتی ماکسول و نیروی بی بعد ۰/۱ و مقایسه با مرجع [۱۸]

عامل مهم دیگر در شبیه سازی جریان درون نانوکانال-ها عدد نادسن است. همانگونه که می دانید، عدد نادسن در مقیاس مهندسی (محیط پیوسته) کوچکتر از ۰/۱ و در هر محیط گسسته یا مولکولی بزرگتر از ۰/۱ است. در هر شبیه سازی این عدد باید محاسبه گردد. عدد نادسن در شبیه سازی دوبعدی جریان پوازی مایع آرگون درون نانوکانال پلاتینی با در نظر گرفتن پارامتر شبکه ۰/۸، به صورت رابطه (۱) برابر ۰/۱۸، به دست می آید.

$$kn = \frac{1}{2\sqrt{2}\pi n l_y d_i^2} = 0.18 \quad (1)$$

که در آن n تعداد ذرات در دامنه حل، l_y عرض کانال و d_i قطر ذرات است. که در ادامه برای به دست آوردن عدد نادسن کانال های مختلف، از رابطه (۱) بهره می بریم.

شکل های (۲)، (۳) و (۴)، ساختار هندسه نانو کانال-های مورد استفاده در شبیه سازی ها را به ازای مقادیر نسبت تخلخل (۵) ۰/۸۸۱، ۰/۸۰۵ و ۰/۷۳۲ نشان می دهد. نسبت طول به عرض کانال ها برابر ۲/۵ است. عرض کانال نیز ۴۰ برابر قطر ذرات آرگون (۴۰۵) در نظر گرفته شده است. جنس دیواره و محیط متخلخل از پلاتین و جنس سیال گاز آرگون در نظر گرفته شده است. پارامتر ε یا

شکل ۶: بررسی همگرایی در $X = 0.25$ کانال با تخلخل 0.881 .

همانگونه که اشاره شد، در شبیه‌سازی به روش شبکه بولتزن، اساساً توانایی مدل نمودن جریان در رژیم گذرا را ندارد. علت این امر آن است که ویسکوزیته مورد استفاده در روش شبکه بولتزن صرفاً برخورد مولکول‌ها با یکدیگر را در نظر می‌گیرد اما در رژیم‌های لغزشی و گذرا برخورد مولکول‌ها با دیواره نیز حایز اهمیت است. به منظور افزایش توانایی روش شبکه بولتزن در مدل نمودن جریان‌های گذرا، ویسکوزیته جریان به صورت رابطه زیر تصحیح می‌شود.

$$\mu_{eff} = \frac{\mu_0}{1 + \alpha Kn} \quad (3)$$

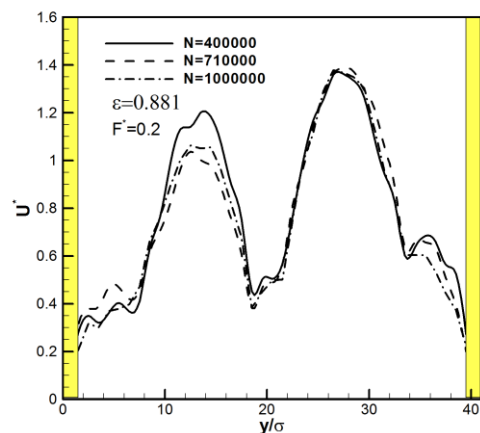
با تصحیح ویسکوزیته، پارامتر زمان آرامش نیز که تابعی از ویسکوزیته می‌باشد، به صورت زیر تصحیح می‌گردد:

$$\tau_{eff} = \sqrt{\frac{6}{\pi}} \frac{Kn}{1 + \alpha Kn} N \quad (4)$$

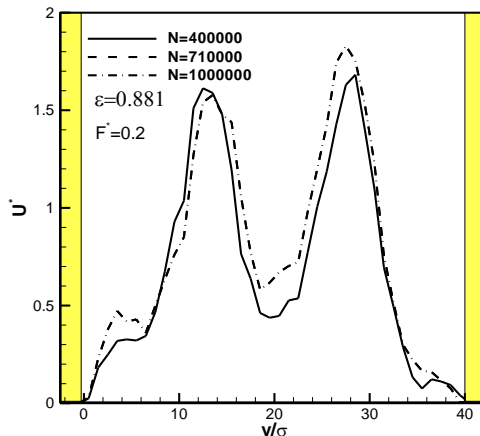
برای روش شبکه بولتزن هیدرودینامیکی از شرط مرزی فشار معین در ورودی و خروجی و شرط مرزی لغزش روی مرزهای جامد استفاده شده است. برای شبکه بولتزن گرمایی از شرط مرزی دمایی معین در ورودی و توسعه یافتگی حرارتی در خروجی استفاده شده است. مرزهای جامد نیز دما ثابت بوده و از شرط مرزی پرش دمایی استفاده شده است. شکل (۷) نشان می‌دهد که روش شبکه بولتزن جدید برای محیط‌های متخلخل نیز نتایج بهتری را نسبت به روش شبکه بولتزن متداول در محدوده رژیم گذرا ارائه می‌نماید زیرا نتایج آن تطابق بهتری با نتایج دینامیک مولکولی برخوردار می‌باشند و قله‌های جریان و لغزش روی دیواره را بهتر مدل می‌نمایند. همچنین با کاهش تخلخل تعداد موانع موجود و پیچیدگی هندسه جریان افزایش یافته و اختلاف نتایج بیشتر می‌شود.

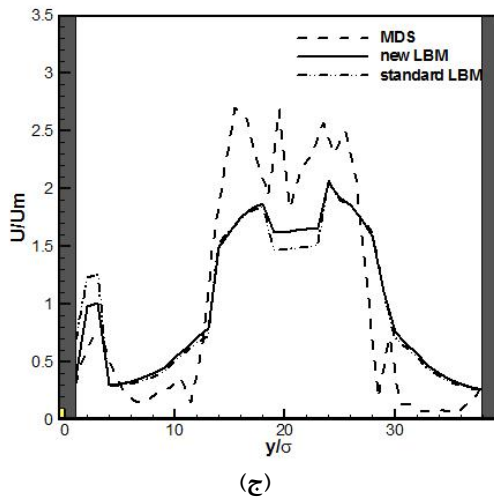
شبیه‌سازی نیروهای بی‌بعد مختلفی به ناحیه سیال در هر گام زمانی به عنوان یک نیروی خارجی بی‌بعد F^* برابر با مقادیر مختلف $0.03/0.04$ و 0.02 وارد می‌شود ($F = F^* \frac{\varepsilon}{\sigma^2}$). در این میان، با اعمال دمایی تصحیح سرعت، دمایی بی‌بعد سیال T^* برابر $1/0$ ($T = T^* \frac{\varepsilon}{k_B}$) ثابت نگه داشته می‌شود.

در شکل‌های (۵) و (۶) نتایج مربوط به سرعت در مقاطع مختلف نانو کانال حاوی محیط متخلخل با تخلخل 0.881 به نشان داده شده است. با افزایش تکرار از 710000 به 1000000 تغییر قابل توجهی در نتایج ایجاد نشده و بنابراین می‌توان نتیجه گرفت که جریان پس از 1000000 تکرار به حالت تعادل می‌رسد و خواص ماکروسکوپی در این تکرار استخراج می‌شوند.



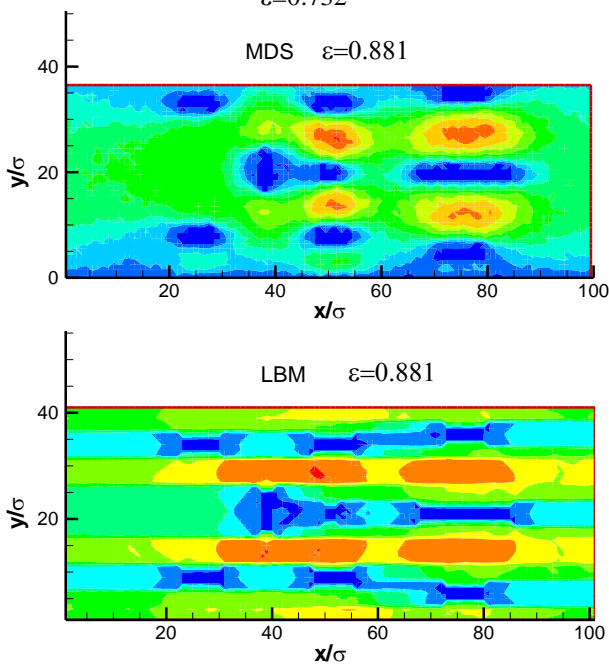
شکل ۵: بررسی همگرایی در خروجی کانال با تخلخل 0.881 .





(ج)

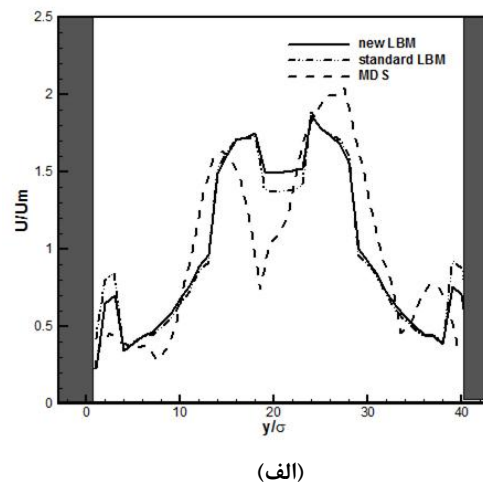
شکل ۷: پروفیل سرعت در سه روش بولتزن، بولتزن اصلاح شده و دینامیک مولکولی با $kn=0.2$. (الف) $\epsilon=0.805$ (ب) $\epsilon=0.818$ (ج) $\epsilon=0.732$



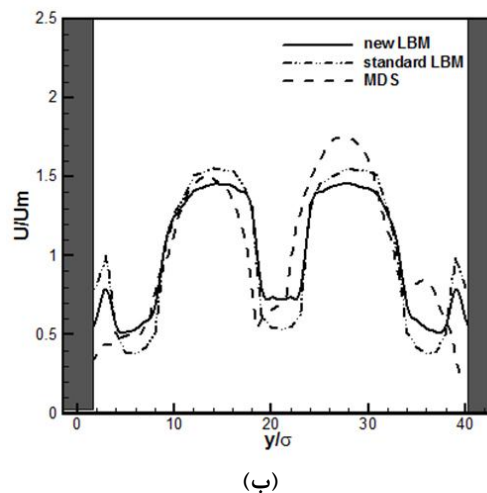
شکل ۸: کانتورهای سرعت افقی، بالایی: روش دینامیک مولکولی، پایینی: شبکه بولتزن اصلاح شده

در شکل (۹) اثر تغییر نیرو بر توزیع سرعت در خروجی کانال برای عدد نادسن 0.2 و نسبت تخلخل 0.881 ، نشان داده شده است. همانگونه که مشاهده می شود با افزایش نیرو، با توجه به معادله قانون دوم نیوتن شتاب ذرات بیشتر شده و به سبب آن سرعت میکروسکوپی و ماکروسکوپی ذرات افزایش می یابد و در نتیجه دبی جریان

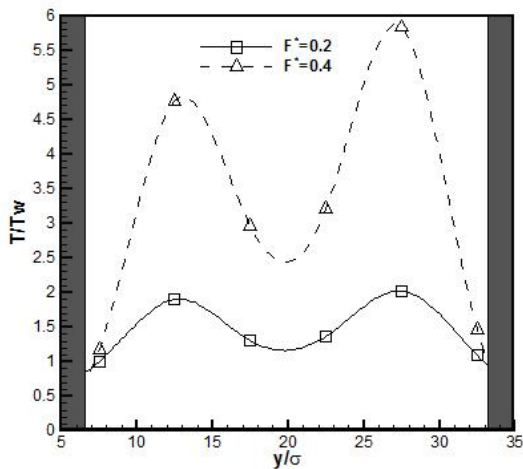
در شکل (۸) کانتور سرعت افقی برای کانال حاوی محیط متخلخل با استفاده از دو روش دینامیک مولکولی و روش شبکه بولتزن رسم شده است. مقایسه نتایج نشان می دهد که به طور کلی روش شبکه بولتزن نواحی دارای سرعت ماکزیمم را بیشتر از روش دینامیک مولکولی پیش بینی می نماید. این امر به دلیل اختلاف روش شبکه بولتزن و دینامیک مولکولی در ارضا شرط مرزی لغزش روی موانع صلب اتفاق می افتد. لازم به ذکر است که در رابطه شرط مرزی لغزش مورد استفاده در روش شبکه بولتزن فرض بر این است که سطح کاملاً دیفیوز باشد که همان طور که نتایج دینامیک مولکولی نشان می دهند، این فرض برای آرگون و پلاتین تا حدودی دارای خطا می باشد.



(الف)

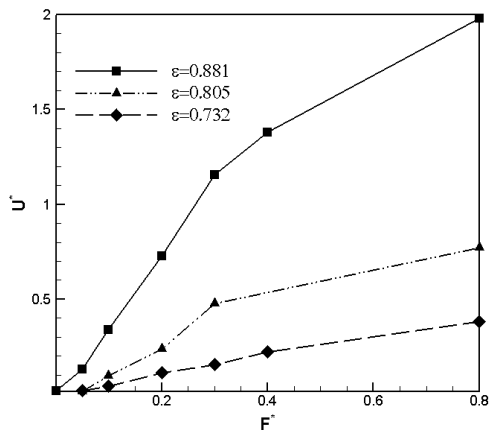


(ب)



شکل ۱۰: پروفیل دما استخراج شده در روش دینامیک مولکولی برای نیروهای مختلف در $\varepsilon=0.881$

روش دینامیک مولکولی بخوبی توانسته است رژیم‌های مختلف جریان در محیط متخلخل را مدل نماید. همچنین نمودار نشان می‌دهد که با افزایش تخلخل انحراف از حالت خطی زودتر اتفاق می‌افتد. علت این پدیده آن است که با افزایش تخلخل سرعت افزایش می‌یابد و در نتیجه جریان زودتر از حالت خزشی خارج می‌شود.

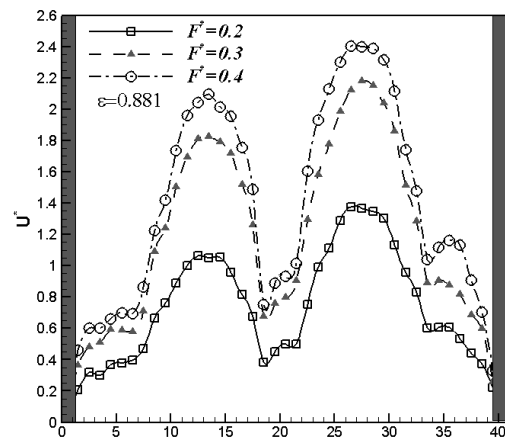


شکل ۱۱: مدلسازی نواحی جریان داری و فورشیمر به کمک روش دینامیک مولکولی

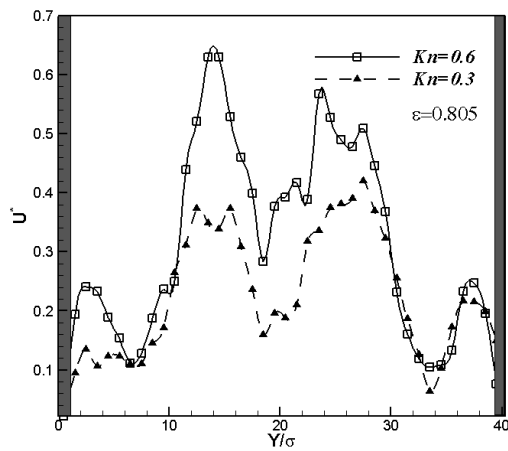
اثر تخلخل بر توزیع سرعت در خروجی کانال در شکل (۱۱) نشان داده شده است. با توجه به افزایش تخلخل یا موانع موجود در مسیر جریان، سطح مقطع جریان کاهش می‌یابد و در نتیجه سرعت افزایش می‌یابد. در این پژوهش تغییر عدد نادسن از طریق تغییر تعداد ذرات سیال اعمال شده است. در شکل (۱۲) اثر تغییر عدد نادسن بر توزیع

نیز بیشتر می‌شود. از آنجایی که انرژی جنبشی با توان دوم سرعت رابطه مستقیم دارد و از طرفی انرژی نیز رابطه مستقیم با دما دارد، پس می‌توان نتیجه گرفته که با افزایش نیرو، سرعت و به تبع آن دما افزایش پیدا خواهد کرد. که در شکل (۱۰) بیان شده است.

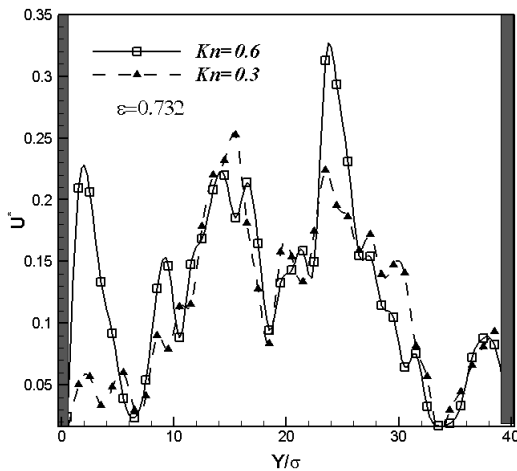
شکل (۱۱) اثر تغییر نیرو بر سرعت متوسط برای هر سه محیط متخلخل به ازای نادسن 0.2 نشان داده شده است. در حالتی که نیرو به اندازه کافی کوچک باشد، رینولدز کوچک بوده ($Re \ll 1$) و جریان خزشی می‌باشد. در این حالت که به رژیم داری معروف است، رابطه سرعت با گرادیان فشار به صورت خطی می‌باشد. با توجه به تغییرات نیرو در شکل مذکور، سرعت نیز تغییر می‌کند اما در نواحی خطی، رینولدز در محدوده 0.1 تا 0.1 قرار دارد. بنابراین رژیم جریانی داری برقرار است و نمودار سرعت بر حسب نیرو حالت خطی دارد. با افزایش نیرو رژیم جریان به رژیم فورشیمر تبدیل می‌شود و نمودار حالت خطی نخواهد داشت. این نمودار نشان می‌دهد که



شکل ۹: پروفیل سرعت استخراج شده در روش دینامیک مولکولی برای نیروهای مختلف در $\varepsilon=0.881$



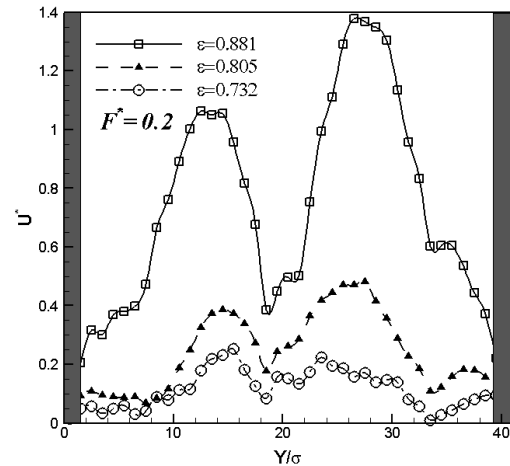
(الف)



(ب)

شکل ۱۲: اثر تغییر عدد نادسن بر توزیع سرعت در خروجی کانال

سرعت در خروجی کانال نشان داده شده است. تغییر تعداد ذرات سیال نیز به کمک تغییر در پارامتر شبکه انجام می‌گیرد. جدول زیر پارامترهای در نظر گرفته شده برای هر حالت به همراه Kn مربوطه را نشان می‌دهد.



شکل ۱۱: اثر تخلخل بر توزیع سرعت در خروجی کانال

نیروی اعمال شده در کد دینامیک مولکولی به مجموع ذرات وارد می‌شود. با افزایش Kn سرعت افزایش پیدا می‌کند، اما از آنجا که تعداد ذرات دیواره نیز تغییر می‌نماید بنابراین برخورد ذرات با دیواره نیز دستخوش تغییر می‌گردد و مقداری نوسان در سرعت نزدیک دیواره ایجاد می‌شود.

جدول ۲: پارامترهای متعلق به نمودارهای شکل ۱۲

porosity	Lattice parameter	Number of atoms	Kn
$\varepsilon = 0.881$	0.5	1707	0.5
$\varepsilon = 0.881$	0.8	2895	0.3
$\varepsilon = 0.805$	0.5	1545	0.6
$\varepsilon = 0.805$	0.8	2720	0.3
$\varepsilon = 0.732$	0.5	1390	0.6
$\varepsilon = 0.732$	0.8	2558	0.3

۵- نتیجه‌گیری

در این پژوهش، جریان یوازی گاز آرگون درون نانوکanal-های متخلخل با استفاده از روش‌های دینامیک مولکولی و شبکه بولتزمن، شبیه‌سازی شد. پارامترهای مختلف از قبیل نیروهای وارد دامنه حل، اعداد نودسن متفاوت و نسبت تخلخل‌های گوناگون مورد بررسی قرار گرفت. نتایج نشان داد که روش بولتزمن اصلاحی تطابق بهتری با نتایج حاصل شده از شبیه‌سازی دینامیک مولکولی دارند و خواص جریان را بهتر توصیف می‌کند. در نهایت می‌توان



- [10] Nocilla, S., "On the Interaction between Stream and Body in Free-Molecule Flow," Rarefied Gas Dynamics, Proceedings of the Second International Symposium, Academic Press, New York, pp. 169-208, 1961.
- [11] Sharipov, F., "Application of the Cercignani-Lampis scattering kernel to calculations of rarefied gas flows. I. Plane flow between two parallel plates", Eur. J. Mech. B/Fluids 21, pp. 113-123, 2002.
- [12] Sharipov, F., "Application of the Cercignani-Lampis scattering kernel to calculations of rarefied gas flows. III. Poiseuille flow and thermal creep through a long tube", Eur. J. Mech. B/Fluids 22, pp. 145-154, 2003.
- [13] Sharipov, F. and Bertoldo, G., "Heat transfer through a rarefied gas confined between two coaxial cylinders with high radius ratio", J. Vac. Sci. Technol. A, 24, 6, pp. 2087-2093, 2006.
- [14] Cercignani, C. and Lampis, M., "Kinetic models for gas-surface interactions", Transport theory and statistical physics, 1(2), pp. 101-114, 1971.
- [15] J. Matsui and Y. Matsumoto, "Study of scattering process in gas-surface interactions," in *Progress in Astronautics and Aeronautics*, edited by A. R. Seebass, Rarefied Gas Dynamics Vol. 158, edited by B. D. Shizgal and D. P. Weaver _AIAA, Washington, DC, 1993.
- [16] Yamamoto, Kyoji. Takeuchi, Hideki and Hyakutake, Toru, "Characteristics of reflected gas molecules at a solid surface", PHYSICS OF FLUIDS **18**, 046103, 2006.
- [17] Spijker Peter, Albert J. Markvoort, Silvia V. Nedeia, and Peter A. J. Hilbers, "Computation of accommodation coefficients and the use of velocity correlation profiles in molecular dynamics simulations", PHYSICAL REVIEW E **81**, 011203, pp. 1-15, 2010.
- [18] Alexander A. and Garcia A. "Direct Simulation Monte Carlo", F, *Computers in Physics*, pp. 588-593, 1997.
- [19] WWW.SANDIA.LAMMPS.GOV
- [20] Xu. J. L, Zhou. Z. Q, "Molecular dynamics simulation of liquid argon flow at platinum surfaces, Journal of Heat and Mass transfer, 40 pp. 859-869, 2004.

نتیجه گرفت که روش بولتزمنت اصلاح شده جهت شبیه-سازی جریان‌ها در مقیاس نانو مناسبتر است.

مراجع

- [1] A. Homayoon, A.H. Meghdadi Isfahani, E. Shirani, M. Ashrafizadeh, A novel modified lattice Boltzmann Method for simulation of gas flows in wide range of Knudsen number, International Communications in Heat and Mass Transfer 38 (2011) 827-832.
- [2] H. Shokouhmand, A. H. Meghdadi Isfahani, An improved thermal lattice Boltzmann model for rarefied gas flows in wide range of Knudsen number, International Communications in Heat and Mass Transfer 38 (2011) 1463-1469.
- [3] A. Kundt and E. Warburg, "Ueber Reibung und Wärmelcitung verdünnter Gase," Fogg. Ann. DFT Physik, Vol. 155, pp. 337-365, 1875.
- [4] Maxwell, J. C., On Stresses in Rarified Gases Arising from Inequalities of Temperature. Philosophical Transactions of the Royal Society of London, 170: pp. 231-256, 1879.
- [5] Barwinkel, K. Physical Parameters Governing Slip-Conditions and Their Influence on Momentum and Energy Transfer. in Second Symposium: Fluid Solid Surface Interaction. Bethesda, Maryland, 1974.
- [6] George Wayne Finger, "Estimation of Tangential Momentum Accommodation Coefficient using Molecular Dynamics Simulation", PHD Thesis, 2005.
- [7] Millikan. R. A. "Coefficients of Slip in Gases and the Law of Reflection of Molecules from the Surfaces of Solids and Liquids", Physical Review, 21(3), pp. 217-238, 1923.
- [8] Lord, U. G. "Application of the two-temperature Maxwellian model to describe re-emission of gas molecules from surfaces", J. Phys. D: Appl. Phys. Vol. 25, pp. 327-330, 1992.
- [9] Collins, F. G., "Free Molecule Flow Gas/Surface Interactions at Orbital Conditions," Remtech, Inc., RTC 211-01, Vol. II, Huntsville, AL, April 1992.